

# 5: Transformationen und Modellhierarchien

Lehrstuhl für Computergraphik und  
Multimediasysteme

Universität Siegen



## Struktur & Inhalt des Kapitels



- 1: Einführung
- 2: Affine Transformationen
- 3: Viewing Transformation
- 4: Projektionstransformation
- 5: Hierarchische Modelle
- 6: Umsetzung mit OpenGL und glm



**Bislang:** Alle Elemente in der Szene in einem Koordinatensystem  
 ⇒ sehr unhandliche Modellierung

**Modellierungsansätze** können verschiedenartig sein

- *Top-Down:* Zerlegung der Szene in Objekte ⇒ Verfeinerung
- *Bottom-Up:* Zusammenfügen von Primitiven zu komplexeren Objekten

*Ziel:* Flexible Form der Manipulation von Objekten „als Ganzes“

**Konkrete Aufgaben** für die Szenenerstellung:

- Bewegung von Objekten (Verschieben, Drehen, Skalieren)
- Bewegung von zusammengesetzten Objekten (z.B. Charaktere)

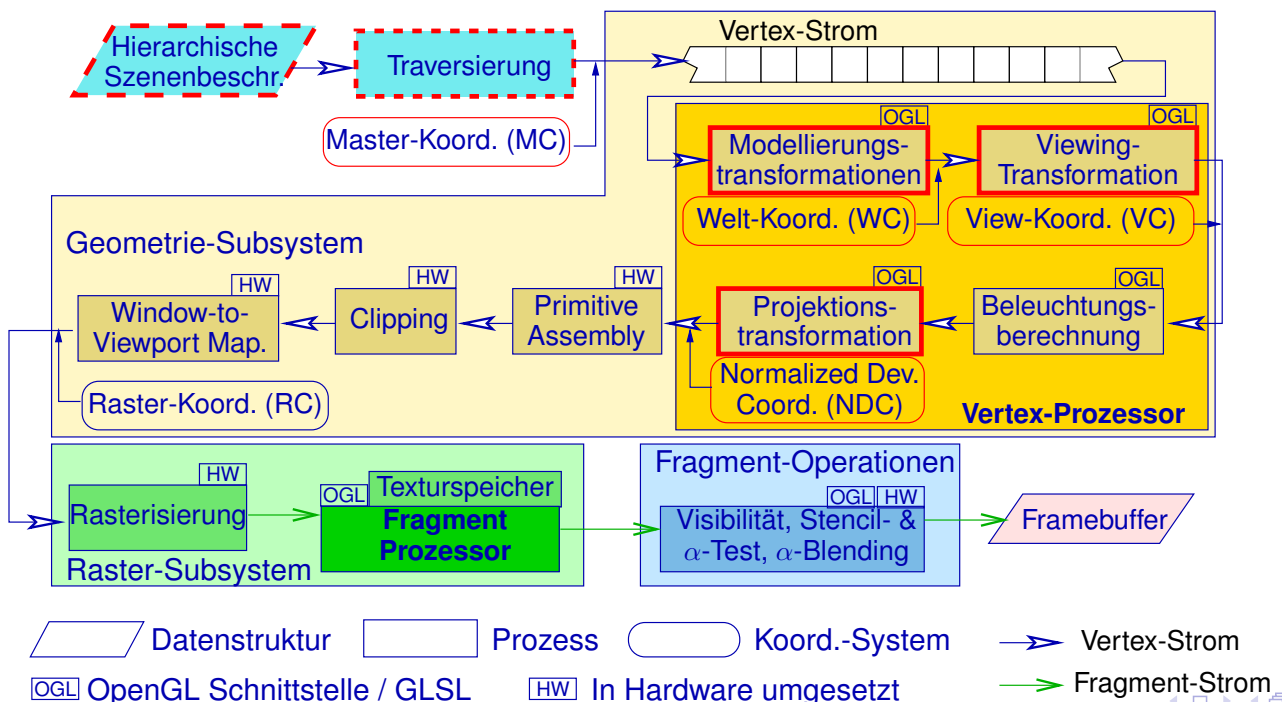
hierarchische Modellstruktur

- flexible Arten der Modellerstellung (→ CG-II)
- anwendungsspezifische Modellierungstechniken (→ CG-II)

## Bezug zur Graphik-Pipeline

**Transformationen:** *Nicht Teil* von OpenGL; wir nutzen `glm`

**Hierarchie & Traversierung:** *Nicht Teil* von OpenGL; wir nutzen eine eigene Stack-Klasse & der Programmcode legt Traversierung implizit fest



### Bezeichnung (Affine Kombination, konvexe Hülle)

**Affine Kombination:** Für Punkte  $\mathbf{P}_1, \dots, \mathbf{P}_k \in A$  und skalare Werte

$s_1, \dots, s_k$  mit  $\sum_{i=1}^k s_i = 1$  ist  $\sum_{i=1}^k s_i \mathbf{P}_i \in A$  ebenfalls ein Punkt,

$$\begin{aligned} \text{denn } \sum_{i=1}^k s_i \mathbf{P}_i &= s_1 \mathbf{P}_1 + s_2 \mathbf{P}_2 + \dots + s_k \mathbf{P}_k \\ &= \underbrace{(s_1 + \dots + s_k)}_{=1} \mathbf{P}_1 + s_2 \underbrace{(\mathbf{P}_2 - \mathbf{P}_1)}_{\vec{v}_2} + \dots + s_k \underbrace{(\mathbf{P}_k - \mathbf{P}_1)}_{\vec{v}_k} \end{aligned}$$

**Konvexe Hülle** der Punkte  $\mathbf{P}_1, \dots, \mathbf{P}_k \in A$ : Die *kleinste*, sie *umfassende*, *konvexe Menge* bestehend aus

$$\mathbf{Q} = \sum_{i=1}^k s_i \mathbf{P}_i, \text{ mit } \sum_{i=1}^k s_i = 1 \text{ und } s_i \geq 0 \forall i = 1, \dots, k$$



## Charakterisierung affiner Transformationen

**Affine Transformationen** sind die Grundlage für

- Positionierung von Objekten
- Wechsel des Koordinatensystems

**Definition:** Sei  $A$  ein  $n$ -dimensionaler affiner Raum. Eine Transformation  $T : A \rightarrow A$  heißt *affin*, falls sie affine Kombinationen invariant läßt, d.h.

$$\begin{aligned} \forall \mathbf{P}_1, \dots, \mathbf{P}_k \in A \text{ und } s_1, \dots, s_k \in \mathbb{R} : \sum s_i = 1 \text{ gilt:} \\ T(s_1 \mathbf{P}_1 + \dots + s_k \mathbf{P}_k) = s_1 T(\mathbf{P}_1) + \dots + s_k T(\mathbf{P}_k) \end{aligned}$$

**Charakterisierung:**  $T$  ist genau dann affin, wenn es eindeutig aus einer linearen Abbildung und einer Translation besteht, d.h.  $\exists$  Matrix  $M \in \mathbb{R}^{n \times n}$  und Vektor  $\vec{t} \in A$  mit:

$$T(\mathbf{P}) = M \begin{pmatrix} p_1 \\ \vdots \\ p_n \end{pmatrix} + \begin{pmatrix} t_1 \\ \vdots \\ t_n \end{pmatrix} \text{ falls } \mathbf{P} = \begin{pmatrix} p_1 \\ \vdots \\ p_n \end{pmatrix}, \vec{t} = \begin{pmatrix} t_1 \\ \vdots \\ t_n \end{pmatrix}$$



**Ziel:** Kompakte Darstellung affiner Transformationen

**Ansatz:** Hinzunahme einer vierten Koordinate (*homogene* oder *w*-Koordinate):

$$\mathbf{P} = \begin{pmatrix} p_x \\ p_y \\ p_z \end{pmatrix} \rightarrow \begin{bmatrix} p_x \\ p_y \\ p_z \\ 1 \end{bmatrix} \text{ und } M \begin{pmatrix} p_x \\ p_y \\ p_z \end{pmatrix} + \begin{pmatrix} t_x \\ t_y \\ t_z \end{pmatrix} \rightarrow \begin{bmatrix} M & \begin{matrix} t_x \\ t_y \\ t_z \end{matrix} \\ 0 & 0 & 0 & 1 \end{bmatrix} \begin{bmatrix} p_x \\ p_y \\ p_z \\ 1 \end{bmatrix}$$

**Homogene Koordinatenschreibweise** für Punkte und Vektoren:

$$\text{Punkt: } \mathbf{P} = p_1 \vec{u}_1 + p_2 \vec{u}_2 + p_3 \vec{u}_3 + 1\mathcal{O} = \begin{bmatrix} p_1 \\ p_2 \\ p_3 \\ 1 \end{bmatrix}$$

$$\text{Vektor: } \vec{v} = v_1 \vec{u}_1 + v_2 \vec{u}_2 + v_3 \vec{u}_3 + 0\mathcal{O} = \begin{bmatrix} v_1 \\ v_2 \\ v_3 \\ 0 \end{bmatrix}$$

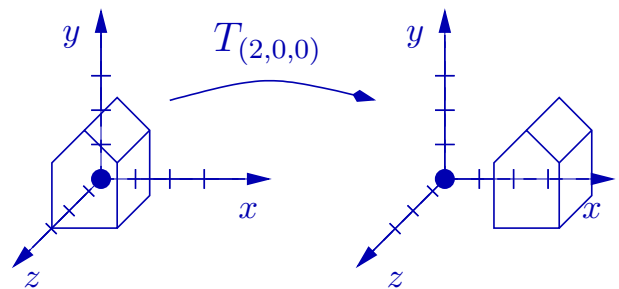
Beachte: Hier sind Punkt und Vektor unterscheidbar!



## Basistransformationen

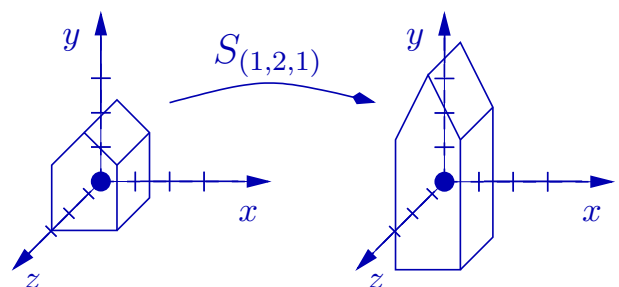
$$\text{Translation: } \begin{pmatrix} p_x \\ p_y \\ p_z \end{pmatrix} \rightarrow \begin{pmatrix} p_x \\ p_y \\ p_z \end{pmatrix} + \begin{pmatrix} t_x \\ t_y \\ t_z \end{pmatrix}$$

$$T_{\vec{t}} \cdot \mathbf{P} = \begin{bmatrix} 1 & 0 & 0 & t_x \\ 0 & 1 & 0 & t_y \\ 0 & 0 & 1 & t_z \\ 0 & 0 & 0 & 1 \end{bmatrix} \begin{bmatrix} p_x \\ p_y \\ p_z \\ 1 \end{bmatrix}$$



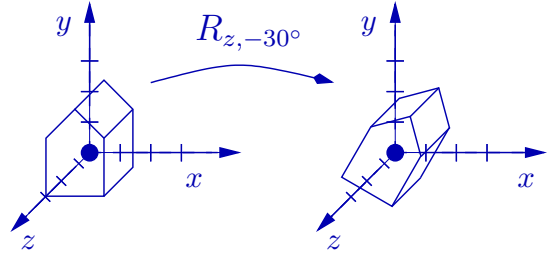
$$\text{Skalierung: } \begin{pmatrix} p_x \\ p_y \\ p_z \end{pmatrix} \rightarrow \begin{pmatrix} s_x \cdot p_x \\ s_y \cdot p_y \\ s_z \cdot p_z \end{pmatrix}$$

$$S_{s_x, s_y, s_z} \cdot \mathbf{P} = \begin{bmatrix} s_x & 0 & 0 & 0 \\ 0 & s_y & 0 & 0 \\ 0 & 0 & s_z & 0 \\ 0 & 0 & 0 & 1 \end{bmatrix} \begin{bmatrix} p_x \\ p_y \\ p_z \\ 1 \end{bmatrix}$$

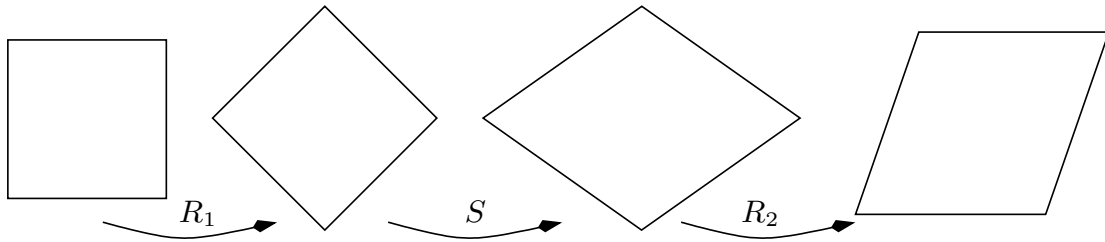


**Rotation:** Um  $z$ -Achse mit Winkel  $\phi$

$$R_{z,\phi} \cdot \mathbf{P} = \begin{bmatrix} \cos \phi & -\sin \phi & 0 & 0 \\ \sin \phi & \cos \phi & 0 & 0 \\ 0 & 0 & 1 & 0 \\ 0 & 0 & 0 & 1 \end{bmatrix} \begin{bmatrix} p_x \\ p_y \\ p_z \\ 1 \end{bmatrix}$$

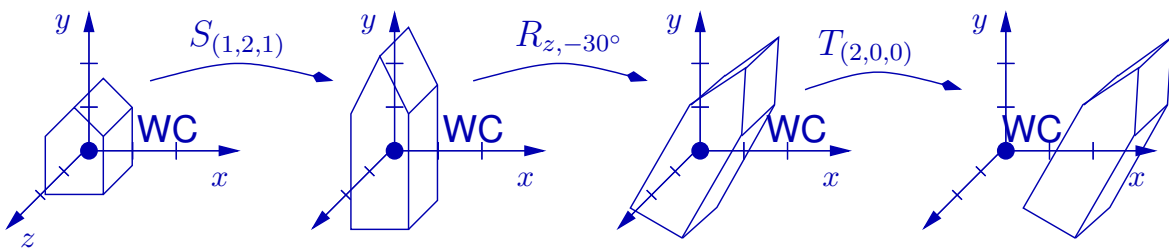


**Beliebige affine Transformation:** Jede affine Transformation lässt sich durch Hintereinanderausführung von Basistransformationen erzeugen.  
 Beispiel: Scherung als Kombination von Rotationen und Skalierung

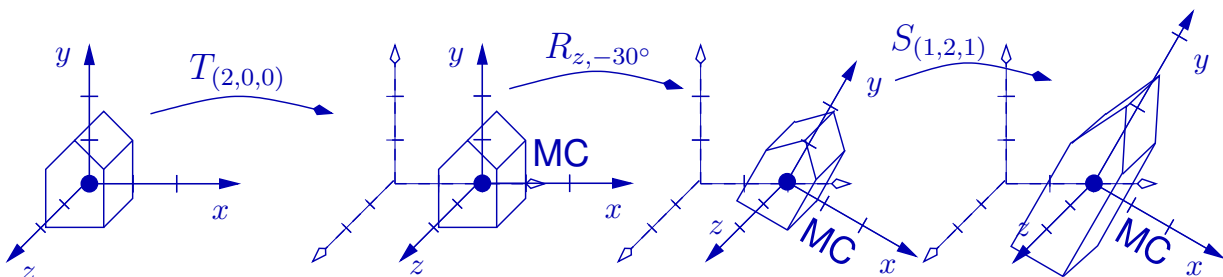


## Kumulierte Transformationen

**Sichtweise 1:** Transformation bzgl. eines *festen (Welt-)Koordinatensystems (WC)*



**Sichtweise 2:** Transformation bzgl. des *lokalen (Modell-)Koordinatensystems (MC)*



Diese Sichtweise ist für die Modellierung wesentlich intuitiver!



**Ziel:** Transformation der Objekte in gemeinsames Koordinatensystem (WC)

**Transformation MC → WC (Sichtweise 1)** des Objektpunktes  $\mathbf{P}^{MC}$

$$\mathbf{P}^{WC} = (T_{(2,0,0)} (R_{z,-30^\circ} (S_{(1,2,1)} \mathbf{P}^{MC}))) = (T_{(2,0,0)} R_{z,-30^\circ} S_{(1,2,1)}) \mathbf{P}^{MC}$$

**Zum vorherigen Beispiel** ergibt sich  $T^{MC \rightarrow WC} = T_{(2,0,0)} R_{z,-30^\circ} S_{(1,2,1)}$  zu

$$\begin{bmatrix} 1 & 0 & 0 & 2 \\ 0 & 1 & 0 & 0 \\ 0 & 0 & 1 & 0 \\ 0 & 0 & 0 & 1 \end{bmatrix} \cdot \frac{1}{2} \begin{bmatrix} \sqrt{3} & 1 & 0 & 0 \\ -1 & \sqrt{3} & 0 & 0 \\ 0 & 0 & 2 & 0 \\ 0 & 0 & 0 & 2 \end{bmatrix} \cdot \begin{bmatrix} 1 & 0 & 0 & 0 \\ 0 & 2 & 0 & 0 \\ 0 & 0 & 1 & 0 \\ 0 & 0 & 0 & 1 \end{bmatrix} = \begin{bmatrix} \frac{\sqrt{3}}{2} & 1 & 0 & 2 \\ -\frac{1}{2} & \sqrt{3} & 0 & 0 \\ 0 & 0 & 1 & 0 \\ 0 & 0 & 0 & 1 \end{bmatrix}$$

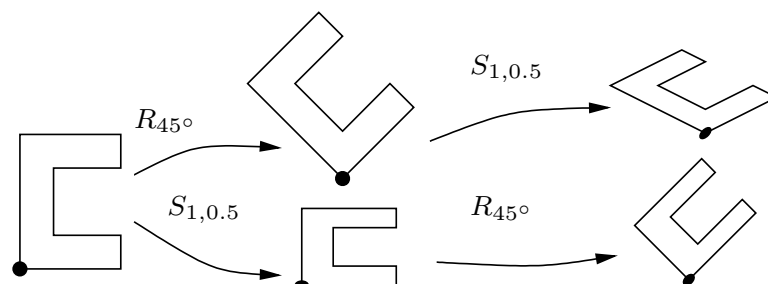
Beispielsweise wird  $(1, 0, 0)$  abgebildet auf

$$T^{MC \rightarrow WC} \begin{pmatrix} 1 \\ 0 \\ 0 \end{pmatrix} = \begin{pmatrix} \sqrt{3}/2 + 2 \\ -1/2 \\ 0 \end{pmatrix}$$



## Kommutativität & Inverse

- Die Reihenfolge der Ausführung ist wichtig, z.B.



- Inverse der Basis-Transformationen sind einfach ermittelbar:

$$(T_{\vec{t}})^{-1} = T_{-\vec{t}} \quad (S_{s_x, s_y, s_z})^{-1} = S_{\frac{1}{s_x}, \frac{1}{s_y}, \frac{1}{s_z}} \quad (R_{z, \phi})^{-1} = R_{z, -\phi}$$

- Inverse Transformationsmatrix für kummulierte Basis-Transformationen

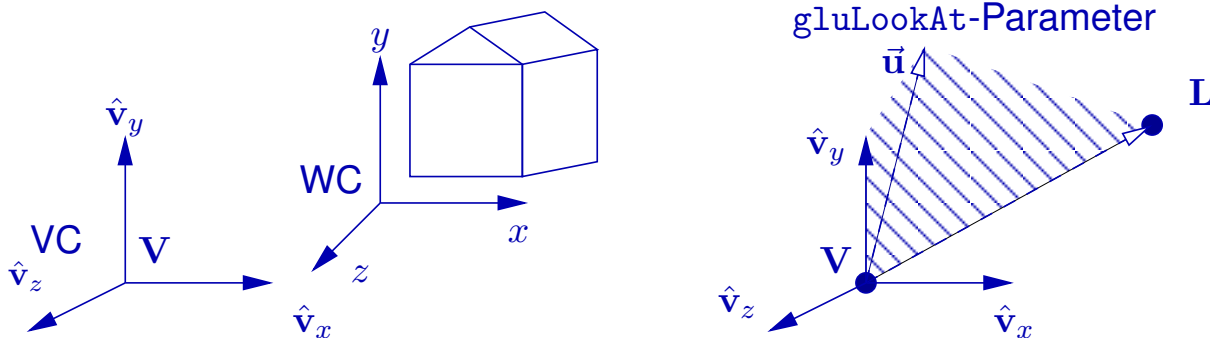
$$(A \cdot B)^{-1} = B^{-1} \cdot A^{-1}$$



**Ziel:** Einbetten des Beobachters in die Szene durch eigenes Beobachterkoordinatensystem.

**Ausgangssituation:** ① alle Objekte liegen in Weltkoordinaten vor  
 ② Rechtshändiges, orthonormales Beobachter-Koordinatensystem  $\{V, \hat{v}_x, \hat{v}_y, \hat{v}_z\}$  in WC mit:

- $\hat{v}_x$ : *Beobachter-Horizont*
- $\hat{v}_y$ : Vertikale, d.h.  $\hat{v}_x - \hat{v}_y$ -Ebene ist die *Projektions-Ebene* für den Beobachter.
- $\hat{v}_z$ : Blickrichtung (entlang  $-\hat{v}_z$ )



## Die glm::lookAt-Funktion

glm::lookAt verwendet andere Kontrollparameter (ebenfalls in WC!):

- Beobachter-Position  $V$
- *Lookat-Punkt*  $L$ : Vektor  $L - V$  gibt Blickrichtung an ( $-\hat{v}_z$  Richtung)
- *up-Vektor*  $\vec{u}$  spannt zusammen mit  $L - V$  die  $\hat{v}_y - \hat{v}_z$ -Ebene auf

## Satz (Viewing-Transformation)

**Gegeben:** Rechtshändiges, orthonormales Beobachter-Koordinatensystem  $V, \hat{v}_x, \hat{v}_y, \hat{v}_z$

**Gesucht:** *Viewing-Transformation*  $T_V$  zum Wechsel von Weltkoordinaten (WC) in Viewkoordinaten (VC)

**Lösung:**

$$T_V = \begin{bmatrix} A^T & -A^T V \\ 0 & 0 & 0 & 1 \end{bmatrix} \in \mathbb{R}^{4 \times 4} \quad \text{mit} \quad A = (\hat{v}_x, \hat{v}_y, \hat{v}_z)$$



**Gegeben:**  $\mathbf{V} = (1, 0, 1)^T$ ,  $\mathbf{L} = (0, 0, 0)^T$ ,  $\vec{\mathbf{u}} = (2, 1, 2)^T$

**Berechnung:** Beobachter-Koordinatensystems und Viewing-Transformation

$$\hat{\mathbf{v}}_z = \frac{\mathbf{V} - \mathbf{L}}{\|\mathbf{V} - \mathbf{L}\|} = \begin{pmatrix} \frac{1}{\sqrt{2}} \\ 0 \\ \frac{1}{\sqrt{2}} \end{pmatrix},$$

$$\vec{\mathbf{v}}_y = \vec{\mathbf{u}} - (\vec{\mathbf{u}} \cdot \hat{\mathbf{v}}_z) \hat{\mathbf{v}}_z = \begin{pmatrix} 2 \\ 1 \\ 2 \end{pmatrix} - \frac{1}{2} \left( \begin{pmatrix} 2 \\ 1 \\ 2 \end{pmatrix} \cdot \begin{pmatrix} 1 \\ 0 \\ 1 \end{pmatrix} \right) \begin{pmatrix} 1 \\ 0 \\ 1 \end{pmatrix} = \begin{pmatrix} 0 \\ 1 \\ 0 \end{pmatrix}$$

$$\hat{\mathbf{v}}_x = \hat{\mathbf{v}}_y \times \hat{\mathbf{v}}_z = \frac{1}{\sqrt{2}} \begin{pmatrix} 0 \\ 1 \\ 0 \end{pmatrix} \times \begin{pmatrix} 1 \\ 0 \\ 1 \end{pmatrix} = \frac{1}{\sqrt{2}} \begin{pmatrix} 1 \\ 0 \\ -1 \end{pmatrix}, \quad A = (\hat{\mathbf{v}}_x, \hat{\mathbf{v}}_y, \hat{\mathbf{v}}_z) = \frac{1}{\sqrt{2}} \begin{pmatrix} 1 & 0 & 1 \\ 0 & \sqrt{2} & 0 \\ -1 & 0 & 1 \end{pmatrix}$$

$$A^T \mathbf{V} = \frac{1}{\sqrt{2}} \begin{pmatrix} 1 & 0 & -1 \\ 0 & \sqrt{2} & 0 \\ 1 & 0 & 1 \end{pmatrix} \begin{pmatrix} 1 \\ 0 \\ 1 \end{pmatrix} = \begin{pmatrix} 0 \\ 0 \\ \sqrt{2} \end{pmatrix}, \quad T_V = \begin{bmatrix} \frac{1}{\sqrt{2}} & 0 & -\frac{1}{\sqrt{2}} & 0 \\ \frac{1}{\sqrt{2}} & 0 & \frac{1}{\sqrt{2}} & -\sqrt{2} \\ 0 & 1 & 0 & 0 \\ 0 & 0 & 0 & 1 \end{bmatrix}$$



## Aufgaben der Projektionstransformation

Projektionstransformationen legen den *Sichtbereich des Beobachters* und die *Projektionsart* fest:

**Sichtbereich:** Teilmenge des 3D in VC, die im Bild dargestellt wird

**Projektionsart:** Wie wird die 3D-Geometrie später auf das 2D-Bild projiziert?

**Unterscheide** folgende Projektionstransformationen

- *Orthographisch:* Sichtbereich ist ein *Quader* (Parallelprojektion)
- *Perspektivisch:* Sichtbereich ist ein *Pyramidenstumpf* mit Spitze im Beobachterpunkt

**Ergebnis der Projektionstransformation:**

- Der Sichtbereichs liegt in *Normalized Device Coordinates (NDC)* als  $[-1, 1]^3$  vor.
- Das 2D-Bild entsteht anschließend durch *Parallelprojektion* in NDC entlang  $z$ -Achse
- NDC ist *linkshändiges* Koordinatensystem, damit

$+z \propto$  „Entfernung zum Beobachter“



**Sichtbereich:** Achsenparalleles Rechteck in VC:

$$[x_{min}, x_{max}] \times [y_{min}, y_{max}] \times [z_{min}, z_{max}]$$

**Transformation:** Mit

$$\Delta x = x_{max} - x_{min}, \Delta y = y_{max} - y_{min}, \Delta z = z_{max} - z_{min} :$$

$$T_O \mathbf{P} = \begin{bmatrix} 2/\Delta x & 0 & 0 & -2\frac{x_{min}}{\Delta x} - 1 \\ 0 & 2/\Delta y & 0 & -2\frac{y_{min}}{\Delta y} - 1 \\ 0 & 0 & -2/\Delta z & 2\frac{z_{min}}{\Delta z} + 1 \\ 0 & 0 & 0 & 1 \end{bmatrix} \begin{bmatrix} p_x \\ p_y \\ p_z \\ 1 \end{bmatrix}$$

$$= \begin{bmatrix} \frac{2(p_x - x_{min})}{\Delta x} - 1 \\ \frac{2(p_y - y_{min})}{\Delta y} - 1 \\ \frac{2(z_{min} - p_z)}{\Delta z} + 1 \\ 1 \end{bmatrix} \in [-1, 1]^3$$

entspricht einer kombinierten Translation und Skalierung

**glm-Funktion:** ortho(...)



## Perspektivische Transformation

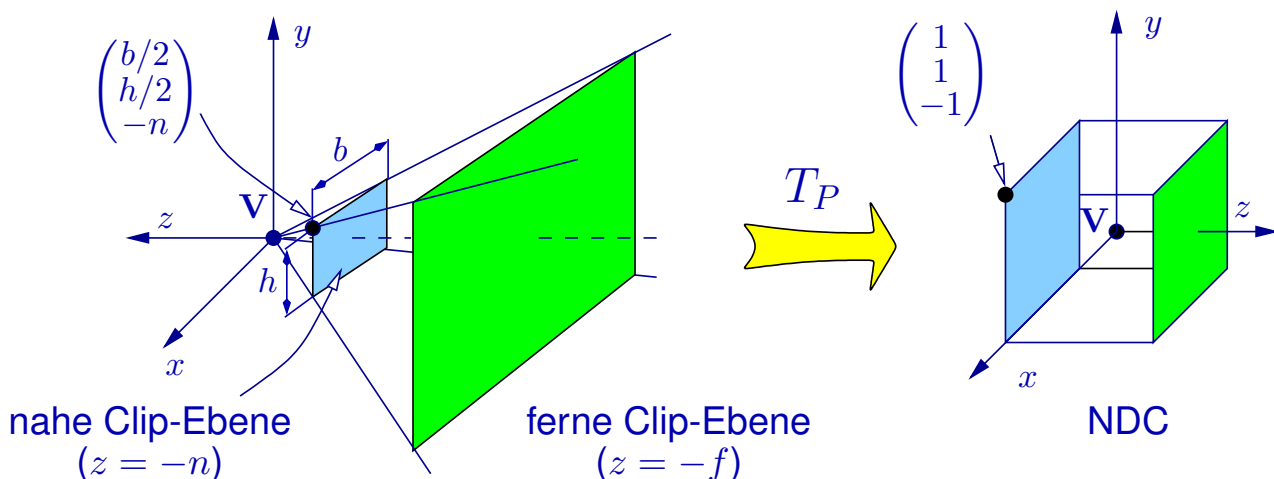
**Sichtbereich:** *Viewing Frustum* (Pyramidenstumpf) mit Spitze im Beobachterpunkt  $V$  im Ursprung:

Abstand nahe Clip-Ebene:  $z = -n$

Breite nahe Clip-Ebene:  $b$

Abstand ferne Clip-Ebene:  $z = -f$

Höhe nahe Clip-Ebene:  $h$



## Satz (Perspektivische Transformation)

Die perspektivische Transformation  $T_P$  wird durch folgende  $4 \times 4$ -Matrix beschrieben:

$$T_P = \begin{bmatrix} \frac{2}{b} & 0 & 0 & 0 \\ 0 & \frac{2}{h} & 0 & 0 \\ 0 & 0 & \frac{n+f}{n(n-f)} & \frac{2f}{n-f} \\ 0 & 0 & -\frac{1}{n} & 0 \end{bmatrix}$$

**glm-Funktionen:** frustum(...), perspective(...)

### Beachte:

- $T_P$  ist **keine** affine Transformation, da nach Anwendung i.a.  $w = -z/n \neq 1$
- Perspektivische Transformation nicht winkel-erhaltend, damit ungeeignet für Raytracing und Beleuchtungsberechnung (diese muss vorher stattfinden)



## Eigenschaften der Perspektivische Transformation

- 1 Geraden werden auf Geraden abgebildet, d.h.

Für  $\mathbf{P}_i = (x_i, y_i, z_i)$  und  $\mathbf{P}(\alpha) = (1 - \alpha)\mathbf{P}_1 + \alpha\mathbf{P}_2$  in VC

gilt:  $T_P(\mathbf{P}(\alpha)) = (1 - \beta)T_P(\mathbf{P}_1) + \beta T_P(\mathbf{P}_2)$ , mit  $\beta = \beta(\alpha) = \frac{\alpha z_2}{(1 - \alpha)z_1 + \alpha z_2}$

- 2 Ordnung von Punkten auf Geraden  $\mathbf{P}(\alpha)$  bleibt erhalten, d.h.

$$\alpha_1 < \alpha_2 \Leftrightarrow \beta(\alpha_1) < \beta(\alpha_2)$$

- 3 Geraden durch den Beobachterpunkt (in VC  $\mathbf{V} = \mathcal{O}$ ) werden zu  $z$ -achsenparalleln Geraden, denn es gilt

$$\mathbf{P}(\alpha) = (1 - \alpha)\mathcal{O} + \alpha\mathbf{Q} = \begin{pmatrix} \alpha q_x \\ \alpha q_y \\ \alpha q_z \end{pmatrix} \implies T_P(\mathbf{P}(\alpha)) = \begin{pmatrix} -\frac{2nq_x}{bq_z} \\ \frac{2nq_y}{hq_z} \\ * \end{pmatrix}$$

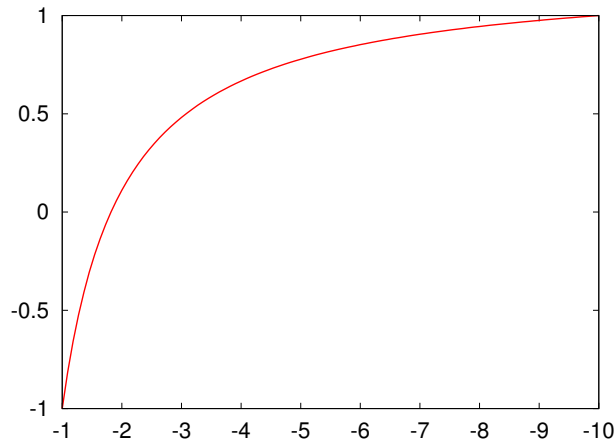


- 4 Tiefenabstände werden verzerrt, genauer:

Abstände nahe am bzw. fern vom Beobachter werden vergrößert bzw. verkleinert

**Konkret:**  $z$ -Wert von  $T_P(x, y, z)$  :

$$-\frac{n}{z} \left( \frac{z(n+f)}{n(n-f)} + \frac{2f}{n-f} \right) = - \left( \frac{2nf}{z(n-f)} + \frac{n+f}{n-f} \right)$$



$z$ -Wertes nach perspektivischer Transformation ( $n = 1, f = 10$ )



## Einfluss von $z_{Near}$ , $z_{Far}$

### Beispiel (Verzerrung Tiefenabstände - Quantisierung)

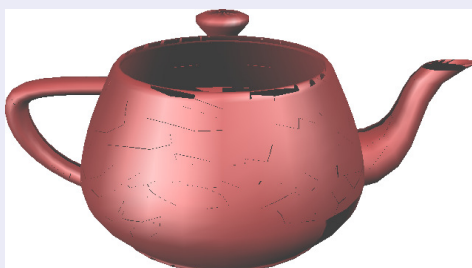
Beispielszene mit verschiedenen Angaben der nahen Clippingebene



$n = 10^{-1}$



$n = 1.25 \cdot 10^{-6}$



$n = 1.6 \cdot 10^{-7}$



$n = 10^{-8}$



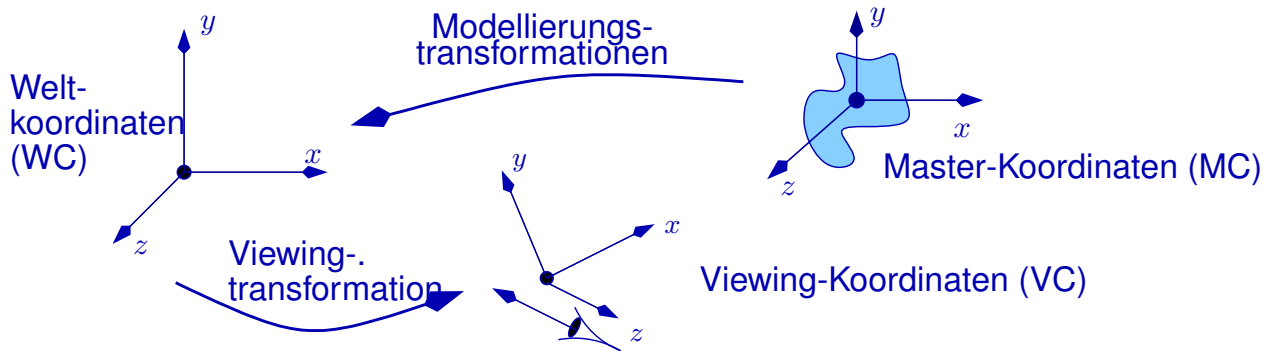
**Ziel:** Datenstruktur zur Beschreibung von Objekten und Transformationen in einer *Hierarchie*

**Koordinatensysteme**, zwischen denen zu unterscheiden ist:

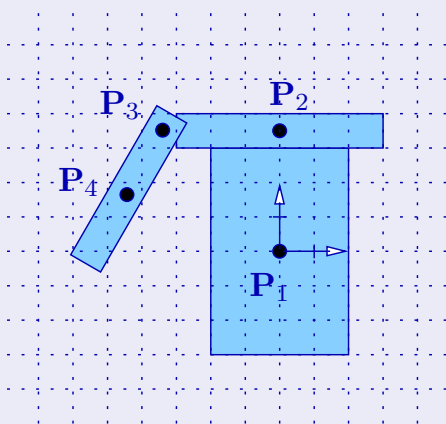
**Master- bzw. Modellkoordinaten (MC):** System zur Beschreibung eines Objektes/Primitives.

**Weltkoordinaten (WC):** Zusammenhang zwischen allen Objekten und Beobachter.

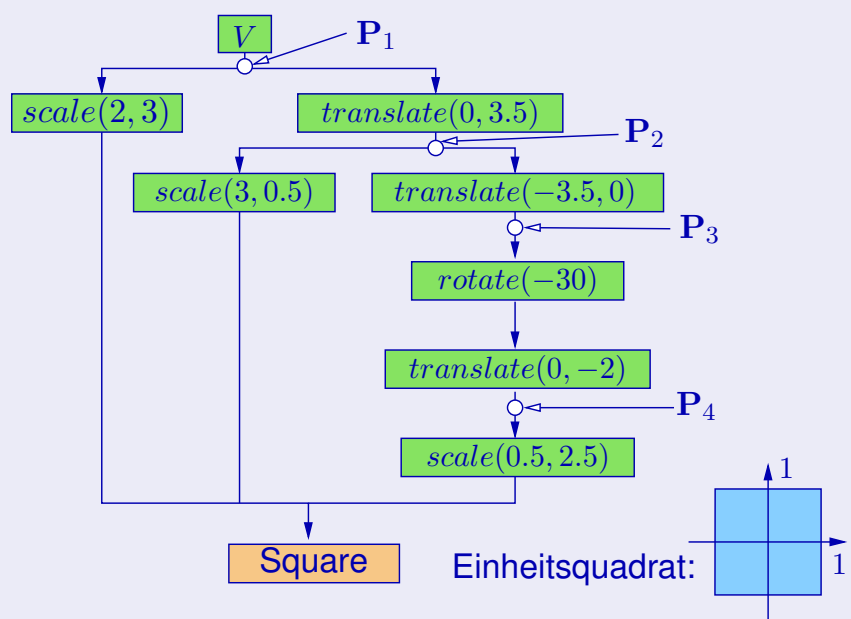
**View-Koordinaten (VC):** Beobachterposition und Blickrichtung



## Beispiel (2D-Situation)



- P<sub>1</sub>: Zentrum Weltkoordinaten
- P<sub>2</sub>: Zentrum Schulterpartie
- P<sub>3</sub>: Rotationszentrum Schulter
- P<sub>4</sub>: Zentrum Oberarm



**Beachte:** Mehrfachverwendung des Quadrates, von V und einer Translation



**DAG** wird auch *Szenengraph* genannt

**Ziel:** Hierarchische Beschreibung der Transformationen und Geometrien.

**Elemente des Graphen** sind

- *Knoten*: Transformations- und Geometrieknoten
- *Wurzel*: Viewingtransformation  $V$
- *Blätter*: Geometriebeschreibungen der Primitive
- *Kanten*: Stellen gerichtete Verbindungen zwischen Knoten her

**Regeln** zur Interpretation und Umsetzung des DAG in eine Szene

- Ein Pfad von der Wurzel zu einem Blatt (Geometrie) entspricht einem gezeichneten Primitiv
- Mehrfachverwendung: Knoten können mehrere Vorgänger haben
- Zyklen: Der Graph darf keine Zyklen enthalten



## Matrixstack

**Matrix-Stack:** Wird weder von OpenGL, noch von glm zur Verfügung gestellt.

Wir nutzen die eigene Klasse *MatrixStack*

**Matrixstack:** Wichtige Speicherstruktur zur Umsetzung eines DAG

**Current Transformation Matrix (CTM):** Oberstes Element des Stack

- Modell-View-Matrix: Transformation von Modell- in View-Koordinaten; wird auf *Modell-View-Stack* verwaltet
- Projection-Matrix: Transformation von View-Koordinaten in NDC.
- Die CTMs werden an Vertex-Shader übergeben und dort verwendet
- Umsetzung der Sichtweise 2: Transformation [ `translate()`, `rotate()`, `scale()`, `ortho()`, `perspective()` ] *von rechts* an CTM multiplizieren.

**Gespeicherte Matrizen** sind wiederverwendbare „Zwischenergebnisse“

**Operationen** auf dem Stack:

`loadIdentity()`, `loadMatrix()`: Setzen der CTM

`push()`: Push des Stack und Duplizieren der CTM

`pop()`: pop vom Stack





**Grundlage** ist die Standard Template Klasse, parametrisiert zur Verwaltung von  $4 \times 4$ -Matrizen: `std::stack<glm::mat4>`

**Erweiterung** der Stack-Klasse um Initialisierungs- und Transformations-Operatoren, z.B.

```
virtual void MatrixStack::loadMatrix(glm::mat4 const &m)
{ static_cast <std::stack<glm::mat4>*> (this)->top() = m; }

glm::mat4 MatrixStack::translate(glm::vec3 const &v)
{
    return static_cast <std::stack<glm::mat4>*> (this)->top() =
        glm::translate (static_cast <std::stack<glm::mat4>*> (this)->top(), v);
}

glm::mat4 MatrixStack::lookAt (glm::vec3 const &eye, glm::vec3 const &center,
                               glm::vec3 const &up)
{
    return static_cast <std::stack<glm::mat4>*> (this)->top() =
        static_cast <std::stack<glm::mat4>*> (this)->top() *
        glm::lookAt(eye, center, up);
}
```

**Von-rechts Multiplikation** an die CTM (oberstes Stack-Element top) realisiert die *Sichtweise 2* (Transformation in lokalen Koordinaten)



## Hello-World OpenGL-Programm

```
void drawGeometry(unsigned int count) {
    // zeichne drei Dreiecke: Rot, grün und blau
    (...)

    // Hierarchie: Rekursion mit 3 skalierten Nachfolgern
    GLint loc = glGetUniformLocation(prg, "modviewMat");
    if ( count < maxCount ) {
        modviewStack.push();
        modviewStack.translate(vec3(0.4, 0.4, 0.4));
        modviewStack.scale(vec3(0.5, 0.5, 0.5));
        glUniformMatrix4fv(loc, "modviewMat", 1, GL_FALSE,
                           value_ptr(modviewStack.top()))

        modviewStack.pop();
        modviewStack.pop();
        modviewStack.push();
        modviewStack.translate(vec3(-0.6, 0.4, 0.4));
        modviewStack.scale(vec3(0.5, 0.5, 0.5));
        glUniformMatrix4fv(loc, "modviewMat", 1, GL_FALSE,
                           value_ptr(modviewStack.top()))

        drawGeometry(count+1);
        modviewStack.pop();
        modviewStack.push();
        modviewStack.translate(vec3(0.4, -0.6, 0.4));
        modviewStack.scale(vec3(0.5, 0.5, 0.5));
        glUniformMatrix4fv(loc, "modviewMat", 1, GL_FALSE,
                           value_ptr(modviewStack.top()))

        drawGeometry(count+1);
        modviewStack.pop();
    }
}
```

```
void GLWidget::paintGL() {
    (...)
    // Initialisiere projection Matrix & model-view Stack
    mat4 projMat = perspective(...);
    modviewStack.loadIdentity();
    modviewStack.lookAt(...);

    // Übergabe der uniform Parameterer
    glUseProgram(prg);
    (...)
    glUniformMatrix4fv(glGetUniformLocation(prg, "projMat"),
                       1, GL_FALSE, value_ptr(projMat));
    glUniformMatrix4fv(glGetUniformLocation(prg, "modviewMat"),
                       1, GL_FALSE, value_ptr(modviewStack.top()));

    drawGeometry(0);
}
```

**Hinweis:** *Rekursive* drawGeometry erhält Skalierung *bewusst*.

